

水面突入前後の水脈拡散特性について

西日本工業大学 正員 ○赤司 信義
 西日本工業大学 正員 石川 誠
 山口大学工学部 正員 斎藤 隆

自由落下水脈が水面に突入する時、水中に多量の空気泡を連行し、水脈が著しく減勢されることはよく知られている。しかし混入空気量などの程度は、又混入空気量によっての異なる減勢特性を示すのが不明な点が多い。著者らはこれまでにこの点について実験的に検討を行なつてきたが、²⁾本文中では大気中での水脈特性の計測をもとに水面突入直前の水脈特性と突入後の流水特性との対応関係を見出そうとするものである。

実験は二次元ノズルから鉛直下方に噴出させたジェットを自由落下水脈として取り扱っている。ジェットの分散に伴って水面に突入する流水の概略を図1に示している。実験に使用したノズル形状を図2に示した。大気中で分散するジェットの幅 B_f を理解し定めることは困難であるので、ここではジェットの密度が0.5 (この幅を B_{50}) と0.1 (この幅を B_{10}) の幅を代表値として取り扱う。大気中でのジェットの密度は二相流測定器(日本科学工業(株)製)を使って測定した。図3はノズルから大気中に噴出されたジェットのボイド分布と空気との接触回数 f_c と、水面突入直後(水面より1.5, 2cm)のものも示している。 $U_0 = 10.4 \text{ cm/s}$ の場合 B_{50} , B_{10} とともに B_0 よりも小さくジェットは先細りに、又 $U_0 = 20.5 \text{ cm/s}$ の場合、 B_{50} は B_0 よりも小さく、 B_{10} は B_0 よりも大きくなり先広がりになっているのが分かる。大気中でのジェットの空気との接触回数 f_c の最大値はボイド分布の変曲点 ($f = 50, p = 0.5$) に認められ、水脈の変動が最も大きい所で生じていることが分かる。水面突入後のボイド分布は水面突入直前の空気との接触分布 f_c と非常に関係が

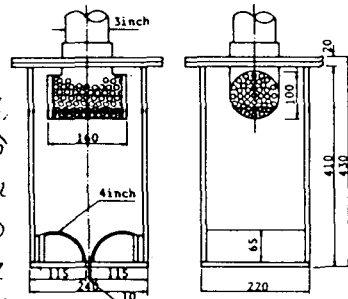


図2 ノズル形状

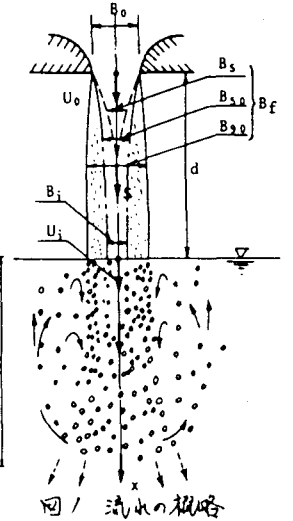


図1 流水の概略

U_0 cm/s	20.5	13.5	10.4
f_c	90 : B_{10}	○	▽
	50 : B_{50}	○	▽
	5 : B_0	○	▽

$B_0 = 0.5$

強く、水脈の変動が水中への空気混入と密接に関係していることが分かる。

図4は大気中のジェットの分散度 B_s (密度0.95 の幅) B_{50} , B_{10} について示したものである。²⁾ 図中の実線は各噴出流速に対し

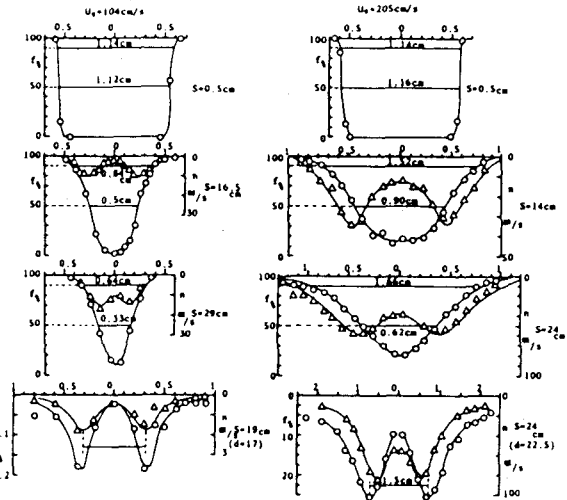


図3 水面突入前後のボイド分布と接触回数

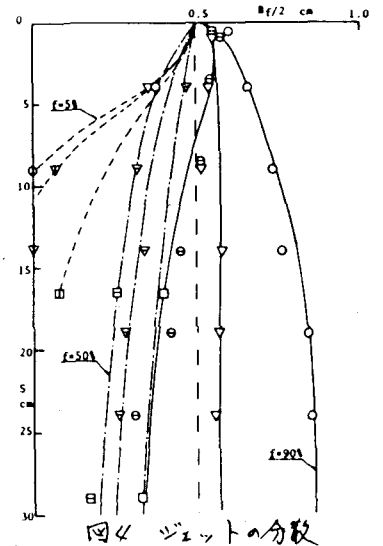


図4 ジェットの分散

で、 B_{90} E、又実験は B_5 E 平均的に近いものである。一実験線は初速 u_0 で噴出されたジェットをポテンシャル流として自由落下に伴う幅の変化を示したもので、図中に示すジェット速度 0.5 (B_{50}) の幅と非常に近い値を示している。 B_5 はノズルから噴出されるジェットのコア領域で、 B_{90} はジェット分散限界として考えられる。コアは噴出速度 u_0 が小さい程長く、ジェットの限界は噴出流速 u_0 が 120 cfs で噴出層 B_0 に一致し、それより大きいとノズル直後より直ちに拡がり次第にその変化は小さく一定値に近づいていくようにみられる。ジェットの限界が一定値に近づくのは、ノズル出口での横方向の速度によってジェットの断面が一樣に膨張しようとする時ジェットの中心部の圧力が大気圧より低くなるから周囲の大気圧に一樣におよぼされて断面の拡大が妨げられて次第に横方向の速度が自由落下の過程で消滅するのであると仮定して述べられている。

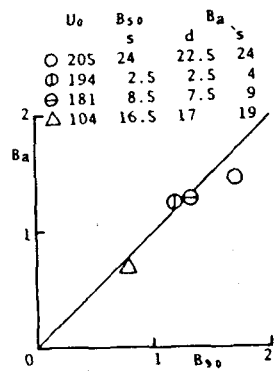


図5 突入前後の水状態

図5は水面突入直前の速度 0.9 の水状態 B_{90} と水面突入直後の断面内最大ポイド率間隔 B_0 を示したものである。水面突入前の水状態最大値は B_{50} であり、この図をみると B_{90} と B_0 の間に強い比例関係が認められることより、ジェットは水面に突入して噴出空気泡の中心を激しく拡散しているものと考えられる。

さて、水面突入後の速度分布をいある深さ以後(外部域=気泡停滞層この何倍か)の速度分布が自由噴流の速度分布式と十分近似可能であったことを考慮して、水面突入後の流れを仮定水面突入層 B_i 、突入流速 u_i 、初期ポイド率 $f_0 = Q_a / (u_i - 25) \cdot B_i$ と定め、気泡が水流に追従して一樣に下降すると考えて、

u_i	B_i	F_d	d	u_0	Q_a	
212	1.17	18.9	15	124	24	○
264	1.57	16.8	13.5	208	60	△
214	1.75	15.6	5.5	186	36	□
167	1.37	25.9	7.5	114	6	○
276	0.96	16.0	30	133	76	△
301	1.26	16.3	28	189	96	□
205	1.83	16.6	3.5	188	28	○
223	1.68	15.1	7.5	187	44	△

軸対称密度噴流に関する Morton の方法とこうして二次元密度噴流モデルに適用して検討してみる。基礎式は質量保存則(ブーシネスフ近似でいる範囲は越えているが)、運動量保存則、物質保存則である。基準長さの代表値として用いた B_i は図4に示したポテンシャル流としてその幅である。別途 u_i 混入空気量 Q_a を用いて計算した結果を図6, 7に示した。 u_m は中心軸上水流最大速度、 bu は u_i 流速幅を示し、大略的にその傾向を把握してあるものと考えられる。 B_i として仮定突入層とすべきの最適値はどうか、又水面突入流水を規定する混入空気量、よって水面突入前のジェット分散特性、水中への空気混入機構についても今後さらに検討を進めていきたい。参考文献 1) 坂本, 丸田, 磯野; 電力中央研究所, 技術報告, 1965. 11, No. 6506P 2) 赤司, 南麻石川 05, 水講演, 3) 赤司, 南麻石川, 02, 中四支那年誌

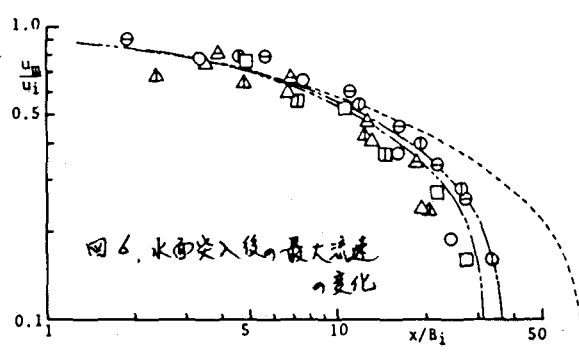


図6 水面突入後の最大流速の変化

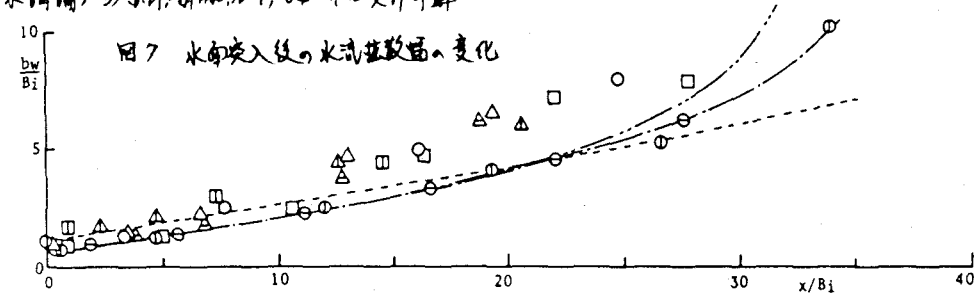


図7 水面突入後の水流速度幅の変化